

# Таммовские плазмоны в структурах с квазипериодическими металлическими решетками

*A. P. Губайдуллин<sup>+1)</sup>, K. M. Морозов<sup>+\*1)</sup>, M. A. Калитеевский<sup>\*1)</sup>*

<sup>+</sup>*Санкт-Петербургский национальный исследовательский Академический университет РАН им. Ж. И. Алферова,  
194021 С.-Петербург, Россия*

<sup>\*</sup>*Университет ИТМО, 197101 С.-Петербург, Россия*

Поступила в редакцию 25 марта 2020 г.

После переработки 16 апреля 2020 г.

Принята к публикации 17 апреля 2020 г.

Проведено теоретическое исследование структур с таммовскими плазмонами, в которых на поверхности структуры расположена одномерная периодическая структура металлических полосок с квазипериодической элементарной ячейкой, в которой металлические полоски расположены в соответствии с последовательностью Фибоначчи. Показано, что при использовании в качестве элементарной ячейки структуры Фибоначчи в зонной структуре появляются дополнительные запрещенные зоны, причем число зон и их совокупная ширина и доля локализованных состояний в спектре собственных мод увеличивается при увеличении номера последовательности Фибоначчи. При этом все дисперсионные поверхности представляют собой соединения параболоидов и гиперболоидов, и частота чередования параболоидов и гиперболоидов в дисперсионной зависимости увеличивается при увеличении номера последовательности Фибоначчи.

DOI: 10.31857/S1234567820110075

Таммовские плазмоны (ТП) – состояния электромагнитного поля, локализованные на границе брэгговского отражателя (БО) и слоя металла [1, 2], привлекли внимание исследователей в связи с перспективностью таких объектов для управления локализацией света [3, 4], формирования связанных состояний фотонов и экситонов [5, 6], макроскопических когерентных состояний [7], а также для контроля вероятности спонтанной эмиссии [8] и создания новых типов лазеров и детекторов [9]. Параметрами плазмонов можно управлять путем субволнового (с характерным размером меньше длины волны) структурирования поверхности [10, 11]. В частности, с помощью субволнового структурирования поверхности можно изменять частоту и добротность ТП [12]. При субволновом структурировании меняется пространственная структура электромагнитного поля, и можно добиться минимизации перекрытия электрического поля ТП с металлом и, как следствие, уменьшения поглощения в металле и увеличения добротности.

Целью данной работы является исследование структур на основе ТП с квазипериодическим латеральным структурированием металлического слоя в виде последовательности Фибоначчи [13, 14]. Оп-

тическая решетка Фибоначчи представляет собой одномерный фотонный квазикристалл. В одномерных бесконечных решетках Фибоначчи при увеличении номера последовательности Фибоначчи в зонной структуре появляется все больше и больше запрещенных зон, и в пределе бесконечной последовательности все состояния являются локализованными. Свойства электронов и фотонов в квазипериодических структурах и, в частности, в решетках Фибоначчи делают их интересным объектом для исследования [15, 16]. На практике, бесконечную последовательность Фибоначчи изготовить невозможно, но свойства квазикристаллических систем удобно изучать путем применения периодических систем с квазипериодической элементарной ячейкой [17].

Рассмотрим базовую таммовскую структуру  $M$ , описание которой приведено ниже. Структура  $M$  состоит из брэгговского отражателя из 30 пар слоев с показателями преломления на брэгговской частоте  $n_1 = 3.5$  и  $n_2 = 2.99$  (что соответствует материалам GaAs и  $\text{Al}_{0.95}\text{Ga}_{0.05}\text{As}$ ) и толщинами  $b_1 = 70$  нм и  $b_2 = 82.7$  нм. Толщины брэгговского отражателя связаны с брэгговской частотой  $\hbar\omega_0 = 1.23$  эВ соотношениями  $2n_{1,2}b_{1,2} = \pi c/\omega_0$ . Брэгговский отражатель покрыт слоем металла серебра толщиной  $d_M = 45$  нм, а толщина прилегающего к нему слоя брэгговского отражателя отличается от прочих и равна

<sup>1)</sup>e-mail: gubaydullin.azat@gmail.com; morzconst@gmail.com; m.kaliteevski@mail.ru

56 нм, для того, чтобы частота ТП, локализованного между слоем металла и брэгговского отражателя, при нормальном падении света, соответствовала брэгговской частоте  $\omega_0$ . Если между брэгговским отражателем и слоем металла поместить дополнительный слой диэлектрика толщиной  $d_R = 90$  нм с показателем преломления  $n_R = 1.5$  (структуре  $R$ ), то частота ТП сместится, и он станет слабее локализован в направлении  $z$ , как показано на рис. 1b и 2a, b.

На рисунке 2c показаны дисперсионные зависимо-

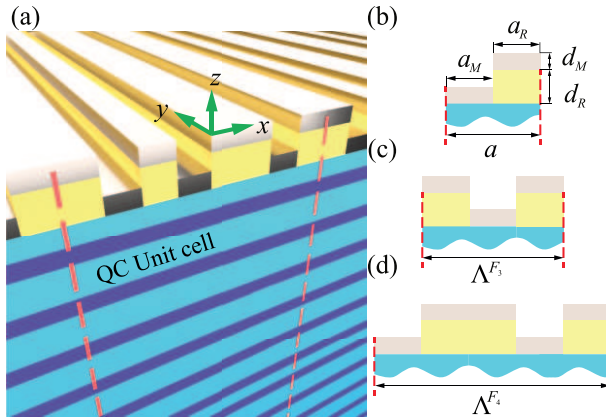


Рис. 1. (Цветной онлайн) (а) – Схема структуры с таммовским плазмоном с субволновым структурированием металлического слоя в виде квазикристаллической последовательности. Сечение элементарной ячейки субволнового покрытия: (б) – из двух полосок; (с) – последовательность Фибоначчи 2-го порядка ( $F_2$ ); (д) – 3-го порядка ( $F_3$ ), как указано в таблице 1.  $a_M$  и  $d_M$  ( $a_R$  и  $d_R$ ) – ширина и толщина элементарных полосок металла (диэлектрика), использованных для формирования структуры

сти для таммовского плазона в структурах  $M$  и  $R$ . При периодическом структурировании поверхности путем чередования структур  $M$  и  $R$  (или, что тоже самое, путем нанесения полосок диэлектрика на брэгговский отражатель перед напылением металла), как показано на рис. 1b, в дисперсионной зависимости для ТП в направлении  $x$  появляется запрещенная зона [18], рис. 2c.

Расчет дисперсионных зависимостей и пространственного распределения электромагнитного поля для собственных мод для случая структурированной поверхности можно произвести методом конечных элементов<sup>2)</sup>. Ширины областей  $M$  и  $R$  будем обозначать как  $a_M$  и  $a_R$  соответственно, как показано на рис. 1b. Для анализа свойств системы удоб-

<sup>2)</sup>Численное моделирование было осуществлено в среде COMSOL Multiphysics.

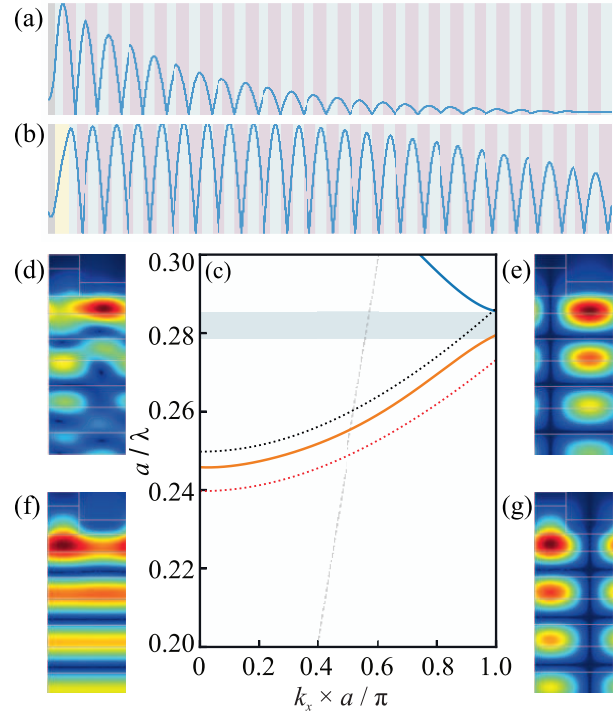


Рис. 2. (Цветной онлайн) Структура с таммовским без дополнительного слоя диэлектрика ТП1 (а) и с дополнительным слоем диэлектрика ТП2 (б), с профилями электрического поля, соответствующими таммовскому плазмону в каждой структуре. (с) – Дисперсионная зависимость для ТЕ-поляризации в направлении  $x$  для таммовского плазона в структуре с периодическим структурированием поверхности (см. рис. 1b) для фактора заполнения  $f = 0.6$ . Для сравнения показаны дисперсионные зависимости в направлении  $x$  для структур ТП1 (черная точечная кривая) и ТП2 (красная точечная кривая). Серая пунктирная кривая – линия светового конуса. Профили поля в точках  $k_x = 0$  (д), (ф) и  $k_x = \pi/a$  (е), (г) для верхней (д), (е) и нижней (ф), (г) дисперсионных кривых

но ввести величину фактора заполнения  $f$ , который для периодического структурирования поверхности определяется как  $f = a_M / (a_M + a_R)$ .

Можно видеть, что в случае периодического структурирования пространственное распределение электрического поля ТП меняется по сравнению с планарной структурой. Вблизи точки  $k_x = 0$  (рис. 2d, f) поле слабее локализовано под слоем металла (дополнительным слоем диэлектрика) в случае обеих дисперсионных ветвей, чем вблизи точки  $k_x = \pi/a$  (где  $a = a_M + a_R$ ) (рис. 2e, g). Интересно отметить, что дисперсионные поверхности в такой системе на одном краю зоны Бриллюэна имеют форму параболоида, а на другом краю – форму гиперболоида. Квазипериодическое структуриро-

вание осуществляется чередованием двух базовых элементов: области  $M$ , когда первый слой брэгговского отражателя покрыт металлом, и области  $R$ , когда между первым слоем БО и металлом имеется слой диэлектрика ( $R$ ), причем области  $M$  и  $R$  в элементарной ячейке располагаются в соответствии с последовательностью Фибоначчи  $F_i$ , как показано на рис. 1. Элементы последовательности Фибоначчи определяются в соответствии с рекуррентным правилом  $F_{i+1} = \{F_{i-1}, F_i\}$  при начальных значениях  $F_0 = M$  и  $F_1 = R$ , как показано в табл. 1 и на рис. 1. Обозначая ширину элементарной ячейки, сформиро-

**Таблица 1.** Решетки Фибоначчи до 6-го порядка

Порядок решетки	Конфигурация
$F_0$	M
$F_1$	R
$F_2$	MR
$F_3$	RMR
$F_4$	MRRMR
$F_5$	RMRMRRMR
$F_6$	MRRMRRMRRMRRMR

ванной в соответствии с последовательностью Фибоначчи  $F_i$  как  $\Lambda^{F_i}$ , для фактора заполнения в случае квазипериодической элементарной ячейки можно записать  $f^{F_i} = \sum_i d_M^i / \Lambda^{F_i}$ . Экспериментальная реализация субволнового структурирования металлического слоя возможна с помощью электронной литографии, как было продемонстрировано в работе [12].

При увеличении номера последовательности Фибоначчи, формирующей элементарную ячейку, дисперсионные зависимости для ТП в направлении  $x$  меняются, и с увеличением номера последовательности Фибоначчи в зонной структуре появляется все больше и больше запрещенных зон, как показано на рис. 3. Следует также отметить, что дисперсионные зависимости становятся более пологими в направлении  $x$ , т.е. групповые скорости  $v_x^{(g)} = \frac{\delta\omega}{\delta k_x}$  падают, что приводит к перераспределению плотности состояний и изменению вероятности спонтанной эмиссии света в широком спектральном диапазоне.

На рисунке 4 показана зависимость положения и ширины запрещенных зон как функция фактора заполнения. Можно видеть, что положение зон сдвигается в сторону высоких энергий при увеличении  $f$ , а ширина запрещенных зон достигает максимума при значении  $f$  около 0.5. При увеличении номера последовательности Фибоначчи, задающего структурирование поверхности, все большая часть зонной структуры заполняется запрещенными зонами.

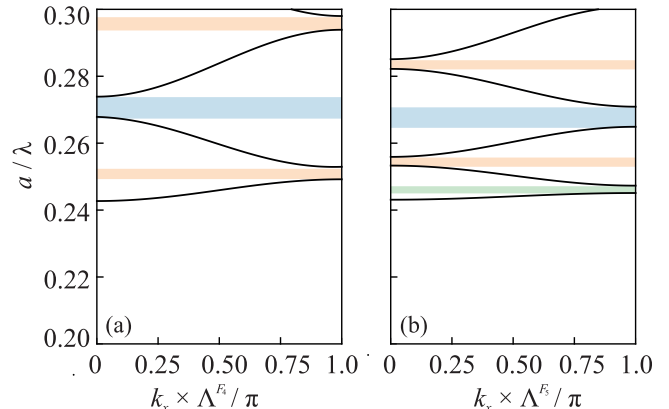


Рис. 3. (Цветной онлайн) Зонная структура (ТЕ-поляризация) в случае структурирования с квазикристаллической ячейкой  $F_4$  (а) и  $F_5$  (б) для  $f = 0.5$ . Закрашенные области показывают положения фотонных запрещенных зон. Чёрные линии – результат аппроксимации численных результатов

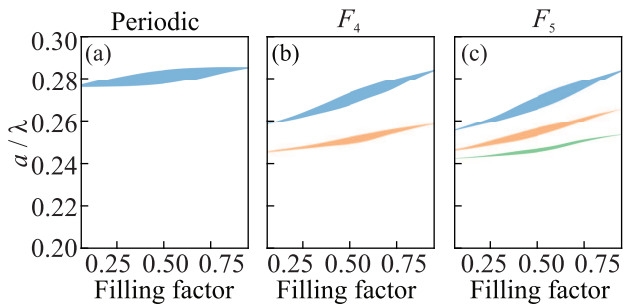


Рис. 4. (Цветной онлайн) Ширина и положение запрещенных зон от фактора заполнения  $f$  (filling factor) для случаев периодической элементарной ячейки (а), элементарной ячейки  $F_4$  (б) и  $F_5$  (в)

Рисунок 5 иллюстрирует дисперсионные зависимости для случаев периодического и квазипериодического структурирования поверхности. Можно видеть, что дисперсионные поверхности представляют собой совокупность параболоидов и гиперболоидов, причем вершины параболоидов и седловидные точки расположены на линии  $k_y = 0$ . При увеличении номера последовательности Фибоначчи, задающего структурирование поверхности, частота чередования седловидных точек и вершин параболоидов увеличивается, в связи с чем в спектрах плотности состояний происходят изменения, обусловленные сингулярностями ван Хова [19], причем спектральная плотность сингулярностей ван Хова растет при увеличении номера последовательности Фибоначчи.

В настоящей работе рассмотрены таммовские плазмоны в структурах с периодическим структурированием поверхностного слоя, когда в качестве эле-

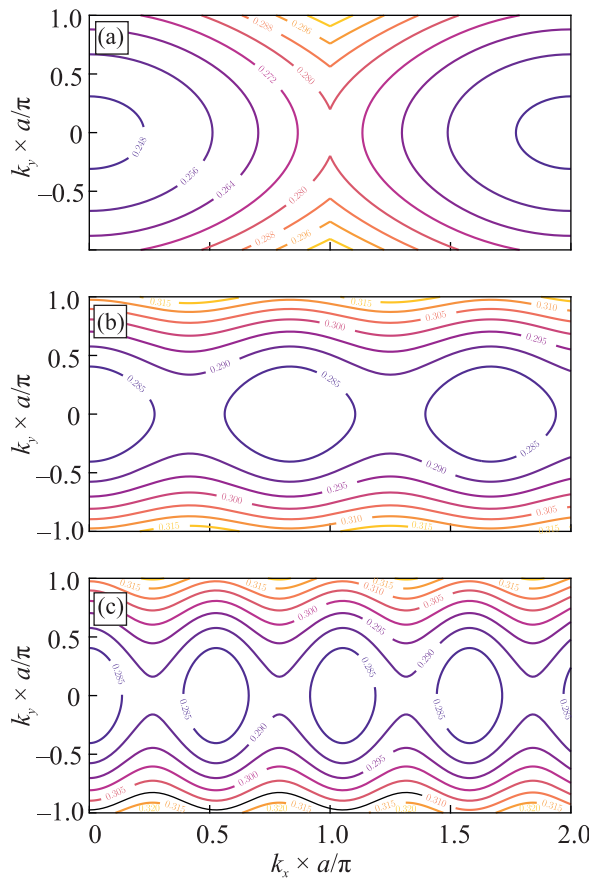


Рис. 5. (Цветной онлайн) Дисперсионные поверхности (в форме изоэнергетических линий величины  $a/\lambda$ ) для периодического структурирования поверхности (а), и для структурирования поверхности, задаваемыми последовательности Фибоначчи  $F_4$  (б) и  $F_5$  (в)

ментарной ячейки выбирается последовательность Фибоначчи определенного порядка. Показано, что в зонной структуре появляются запрещенные зоны, причем число запрещенных зон увеличивается с увеличением номера последовательности Фибоначчи. Продемонстрировано, что все дисперсионные поверхности в такой системе представляют собой параболоиды переходящие в гиперболоиды, что вызывает специфическое изменение плотности плазмонных состояний и спектральной зависимости вероятности спонтанной эмиссии.

Исследование выполнено при финансовой поддержке Российского фонда фундаментальных исследований в рамках научного проекта № 18-32-00800.

1. M. E. Sasin, R. P. Seisyan, M. A. Kaliteevski, S. Brand, R. A. Abram, J. M. Chamberlain, A. Yu. Egorov,

- A. P. Vasil'ev, V. S. Mikhlin, and A. V. Kavokin, *Appl. Phys. Lett.* **92**, 251112 (2008).
2. T. Goto, A. V. Dorofeenko, A. M. Merzlikin, A. V. Baryshev, A. P. Vinogradov, M. Inoue, A. A. Lisyansky, and A. B. Granovsky, *Phys. Rev. Lett.* **101**, 113902 (2008).
  3. O. Gazzano, S. Michaelis de Vasconcellos, K. Gauthron, C. Symonds, J. Bloch, P. Voisin, J. Bellessa, A. Lemaître, and P. Senellart, *Phys. Rev. Lett.* **107**, 247402 (2011).
  4. N. Lundt, S. Klembt, E. Cherotchenko, S. Betzold, O. Iff, A. V. Nalitov, M. Klaas, C. P. Dietrich, A. V. Kavokin, S. Höfling, and C. Schneider, *Nat. Commun.* **7**, 13328 (2016).
  5. M. Kaliteevski, S. Brand, R. A. Abram, I. Iorsh, A. V. Kavokin, and I. A. Shelykh, *Appl. Phys. Lett.* **95**, 251108 (2009).
  6. S. Rahman, T. Klein, S. Klembt, J. Gutowski, D. Hommel, and K. Sebald, *Sci. Rep.* **6**, 34392 (2016).
  7. R. Brückner, A. A. Zakhidov, R. Scholz, M. Sudzius, S. I. Hintschich, H. Fröb, V. G. Lyssenko, and K. Leo, *Nature Photon.* **6**, 322 (2012).
  8. A. R. Gubaydullin, C. Symonds, J. Bellessa, K. A. Ivanov, E. D. Kolykhalova, M. E. Sasin, A. Lemaître, P. Senellart, G. Pozina, and M. A. Kaliteevski, *Sci. Rep.* **7**, 9014 (2017).
  9. C. Symonds, G. Lheureux, J. P. Hugonin, J. J. Greffet, J. Laverdant, G. Brucoli, A. Lemaître, P. Senellart, and J. Bellessa, *Nano Lett.* **13**, 3179 (2013).
  10. M. I. Dobrynin, M. R. Shcherbakov, T. V. Dolgova, and A. A. Fedyanin, *JETP Lett.* **103**, 50 (2016).
  11. A. B. Akimov, A. S. Vengurlekar, T. Weiss, N. A. Gippius, and S. G. Tikhodeev, *JETP Lett.* **90**, 398 (2009).
  12. A. R. Gubaydullin, C. Symonds, J.-M. Benoit, L. Ferrier, T. Benyattou, C. Jamois, A. Lemaître, P. Senellart, M. A. Kaliteevski, and J. Bellessa, *Appl. Phys. Lett.* **111**, 26110 (2017).
  13. W. Gellermann, M. Kohmoto, B. Sutherland, and P. C. Taylor, *Phys. Rev. Lett.* **72**, 633 (1994).
  14. M. A. Kaliteevski, R. A. Abram, S. Brand, and V. V. Nikolaev, *Opt. Spectrosc.* **91**, 109 (2001).
  15. M. A. Fradkin, *JETP Lett.* **69**, 531 (1999).
  16. S. E. Burkov, A. A. Varlamov, and D. V. Livanov, *JETP Lett.* **62**, 361 (1995).
  17. D. T. Roper, D. M. Beggs, M. A. Kaliteevski, S. Brand, and R. A. Abram, *J. Mod. Opt.* **53**, 407 (2006).
  18. L. Ferrier, H. S. Nguyen, C. Jamois, L. Berguiga, C. Symonds, J. Bellessa, and T. Benyattou, *APL Photonics* **4**, 106101 (2019).
  19. L. van Hove, *Phys. Rev.* **89**, 1189 (1953).